



---

**ХАОТИЧЕСКИЕ РЕЖИМЫ ГЕНЕРАЦИИ  
В ПРОТЯЖЕННОЙ  
МИКРОПОЛОСКОВОЙ ЛИНИИ С  
ЦЕПОЧКОЙ ДИОДОВ ГАННА**

---

*ЮРЧЕНКО Л.В., ЮРЧЕНКО В.Б.*

---

Разрабатывается эффективная математическая модель для расчета во временной области сложных широкополосных автоколебаний в цепочках диодов Ганна с учетом их нелинейного взаимодействия в открытой микрополосковой линии передачи с запаздыванием. Предлагаются режимы генерации многочастотных и хаотических колебаний и условия перехода системы от регулярной динамики к хаотической в зависимости от величины параметра нелинейности и нагрузочного сопротивления.

**1. Введение**

Одним из возможных подходов к созданию генераторов шума с управляемыми характеристиками, широко применяющихся в различных областях науки и техники (радиолокация, связь, медицина, биология, криптография), является принцип динамической хаотизации колебаний в системах с пространственно локализованными нелинейными элементами. Со времени появления теории динамического хаоса в этой области получено большое количество результатов, которые свидетельствуют о возможности применения генераторов хаоса в тех областях, где ранее использовались шумовые источники, построенные по схеме усиления шумов естественного происхождения [1,2].

Одним из перспективных направлений по использованию динамического хаоса является создание автоколебательных систем типа «активный нелинейный элемент – задержанная обратная связь» [3-5]. Обобщением этой схемы является построение цепочки активных элементов, соединенных протяженными участками микрополосковых линий, в которых происходит задержка сигналов взаимной связи между отдельными элементами. Синхронизация сигналов взаимной связи, приходящих к каждому активному элементу (узлу цепочки) от соседних элементов, во многих случаях приводит к возникновению в линии режима многочастотной генерации [6]. В то же время, в условиях сильной нелинейности и достаточно больших времен задержки можно ожидать появления более сложных хаотических режимов колебаний.

Эффекты, связанные с хаотизацией колебаний в многоэлементных нелинейных системах с запаздыванием, еще недостаточно изучены и не используются в полной мере. Имеются отдельные работы, где хаотические колебания реализуются и изучаются в одно-

элементных системах на основе активных твердотельных приборов [5,7]. Однако в этих работах внимание уделяется скорее исследованию сложной внутренней динамики отдельного прибора (хаосу множественных доменов, например, в диодах Ганна, в квантовых сверхрешетках), чем влиянию запаздывания обратной связи на процесс хаотизации.

*Целью* данной работы является численное моделирование во временной области широкополосных и хаотических автоколебаний в открытых микрополосковых линиях с дискретными активными элементами (диодами Ганна), между которыми существует обратная связь с задержками, вызванными распространением волн на участках микрополосковых соединений.

В простейшем виде роль задержек проявляется в системах, которые описываются алгебраически-разностными уравнениями [8]. Такие уравнения описывают дискретные отображения, которые в определенных условиях приводят к явлению «перемешивания» в фазовом пространстве решений, что и обуславливает хаотическую динамику. В чистом виде дискретные отображения реализуются тогда, когда нелинейный элемент обладает мгновенной реакцией на внешнее воздействие. Приближение мгновенного отклика активного элемента лежало в основе наших предыдущих исследований электродинамических систем со сложной динамикой поля [9,10].

Данное исследование является логическим продолжением работы [6], в которой рассматривались системы и эффекты, впервые учитывающие собственные характерные времена активных устройств в задачах с запаздыванием. Эти времена обусловлены собственными емкостями и индуктивностями и ограничивают частоты колебаний сверху таким образом, что хаотические режимы, если они существуют, возможны лишь в диапазоне ниже собственных частот активных устройств.

Активные системы с линиями передачи изучались ранее в частотной области [11,12], когда применима концепция комплексного импеданса как функции частоты. Наиболее продвинутой формой такого подхода являются гибридные методы [13] и методы гармонического баланса. В этих методах линейная часть задачи (распространение и рассеяние волн в пассивных компонентах структуры) в определенном смысле решается точно, а нелинейная анализируется в рамках приближений, справедливых для выбранного диапазона частот.

Для процессов с произвольной и сложной зависимостью от времени, таких как короткие импульсы, широкополосные сигналы, хаотическая динамика, требуется прямое моделирование во временной области, так как типичные методы анализа активных систем в частотной области не вполне применимы. Нами предложена такая модель активной системы с запаздыванием, которая позволяет получить эффективное решение данного класса задач во временной области, используя минимальные вычислительные ресурсы.

## 2. Постановка задачи

В случае малой пространственной дисперсии микрополосковой линии эффектом дисперсии на ограниченном участке линии можно пренебречь. При этом линейная часть задачи существенно упрощается и распространение волн на волноводных участках описывается известным решением Римана-Даламбера одномерного волнового уравнения. В наших расчетах мы используем это приближение для линейной части задачи, решаемой во временной области, в то время как нелинейная часть моделируется в полном объеме.

Рассмотрим полубесконечную одномерную линию передачи (рис.1,а). Четырехполюсные блоки  $n$  (рис.1,б) представляют собой цепи с активными элементами, которые могут иметь любой вид. В данной работе в качестве активных элементов мы рассматриваем диоды Ганна. В настоящее время они могут работать в широком диапазоне частот, а отдельные их виды (например, на основе нитрида галлия GaN) работают при частотах  $f > 100$  ГГц. В этом исследовании диоды Ганна моделируются в терминах заданных вольтамперных характеристик (ВАХ), имеющих участки с отрицательным дифференциальным сопротивлением (ОДС).

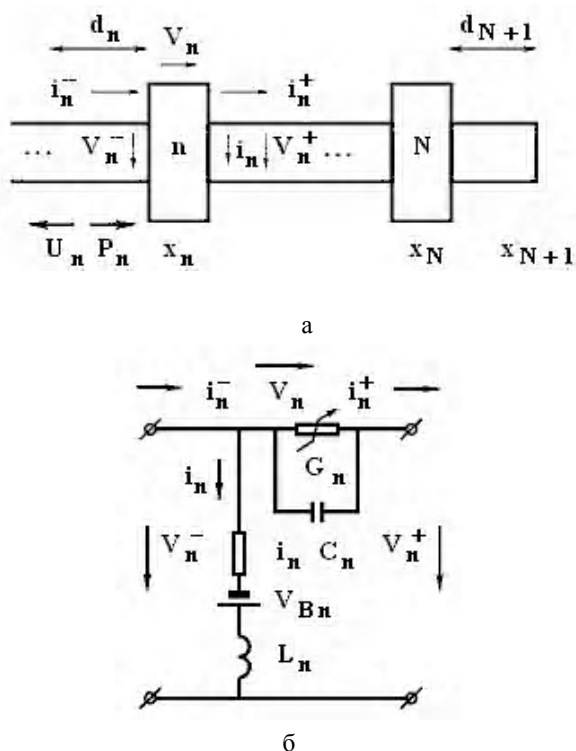


Рис. 1. Линия передачи с  $N$ -активными блоками (а); активный блок, состоящий из диода Ганна  $G_n$ , нагрузочного сопротивления  $r_n$ , емкости  $C_n$ , индуктивности  $L_n$  и источника напряжения  $V_{Bn}$  (б)

Вольтамперная характеристика диода Ганна (рис.2) дается той же аппроксимацией, как в [14], которая является типичной для структур на основе арсенида и нитрида галлия:

$$i_{Gn} = G_n(E) = G_0 [(E+0,2E^4)/(1+0,2E^4)+0,05E], \quad (1)$$

где  $i_{Gn} = I_{Gn} Z_0 / V_0$  и  $E = E_{Gn} = V_{Gn} / V_0$  – безразмерные ток и напряжение, характеризующие диод (в точке максимума  $G_n(E)$ ;  $I_{G \max} = 1,35 I_{G0}$  и  $V_{G \max} = 1,77 V_0$ ),  $G_0 = Z_0 I_{G0} / V_0$  – коэффициент связи диода с линией [9];  $Z_0$  – импеданс линии (для GaN диода, описанного в [15],  $I_{G \max} \approx 9$  А и  $V_{G \max} \approx 45$  В, что при  $Z_0 = 50$  Ом дает  $G_0 = 13$ ).

Необходимо отметить, что подобная модель для диода стала инженерной нормой для расчетов во временной области и применяется, например, в известной системе проектирования HSPICE.

Приближение, описанное выше, соответствует модели прибора, работающего с ограниченным накоплением объемного заряда (ОНОЗ). Режим ОНОЗ обеспечивает более широкополосное функционирование диодов Ганна (здесь отношение максимальной частоты генерации к минимальной больше десяти:  $f_{\max} / f_{\min} > 10$ ). Приближение этого вида означает мгновенный отклик диодов на изменение внешнего напряжения и соответствует пренебрежению детальным моделированием сильно-полевых областей в диодных структурах. Вместо этого в нашей работе собственные характерные времена, свойственные диодам, моделируются эквивалентной емкостью и индуктивностью активных устройств (см. рис.1,б).

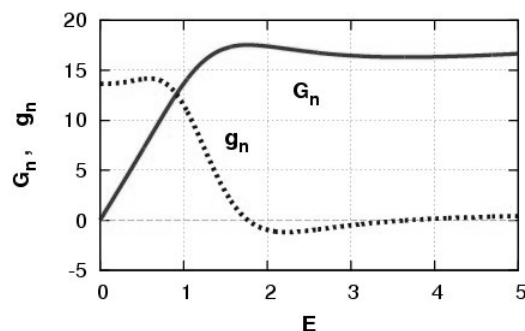


Рис. 2. Вольтамперная характеристика  $G_n = G_n(E)$  и дифференциальная проводимость  $g_n(E) = dG_n(E)/dE$  диода Ганна

Электромагнитное самовозбуждение возникает, когда напряжение на диоде попадает в область ОДС. Колебания развиваются в ответ на малую флуктуацию напряжения смещения в этой области или же в результате переключения напряжения смещения из устойчивой области в нестабильную область ОДС.

Полная система уравнений, описывающая токи и напряжения в цепочках, состоит из следующих трех групп уравнений:

1) волнового уравнения для тока  $i_n(\tau, x)$  и напряжения  $E_n(\tau, x)$  в каждой секции  $n$  микрополосковой линии передачи  $x_{n-1} < x < x_n$ ;

2) уравнений цепи, записанных для каждого блока  $n$  в терминах тока  $i_n(\tau)$  и напряжения  $E_n(\tau)$ , определенных, как показано на рис. 1,б;

3) граничных условий для волновых уравнений в точке подсоединения цепи в линию ( $x_n^\pm = x_n \pm 0$ ), которые устанавливают связь между током и напряжением в линии в точке  $x_n^\pm$  ( $i_n^\pm(\tau) = i_n(\tau, x_n^\pm)$ ,  $E_n^\pm(\tau) = E_n(\tau, x_n^\pm)$ ) и током и напряжением цепи ( $i_n(\tau)$ ,  $E_n(\tau)$ ), как показано на рис. 1,а.

Здесь мы рассматриваем последовательную цепочку (см. рис. 1,а) с активными блоками, показанными на рис. 1,б (все блоки считаются идентичными). Для данной цепочки из  $N$  блоков система уравнений приобретает вид:

$$\partial E_n / \partial x = -\partial i_n / \partial \tau, \partial i_n / \partial x = -\partial E_n / \partial \tau, \quad (2)$$

$$E_n^- = i_n R_n + \tau_{L_n} di_n / d\tau - E_{B_n},$$

$$i_n^+ = G_n(E_n) + \tau_{C_n} dE_{G_n} / d\tau, E_n = E_{G_n} = E_{C_n}, \quad (3)$$

$$i_n = i_n^- - i_n^+, E_n = E_n^- - E_n^+, \quad (4)$$

где  $n = 1 \dots N$ . Точки подключения блоков в линию описываются координатами  $x_{n+1} = x_n + d_{n+1}$ , где  $x_1 = 0$ ,  $d_1 = 0$ . Система уравнений дополняется условием излучения при  $x = -\infty$  (нет приходящих волн от открытого конца линии передачи) и условием короткого замыкания  $E_{N+1}^- = 0$  при  $x = x_{N+1}$ , обеспечивающим отражение волны в этой точке.

Уравнения (2) - (4) записаны в терминах нормированных переменных, таких как относительная координата  $x = X/a$ , время  $\tau = ct/a$ , напряжение  $E_n = V_n/V_0$  и ток  $i_n = Z_0 I_n/V_0$ , где  $a$  – пространственный масштаб, используемый для нормировки,  $c$  – скорость волны в линии передачи,  $R_n = r_n/Z_0$ ,  $\tau_{C_n} = cZ_0 C_n/a$ ,  $\tau_{L_n} = cL_n/(Z_0 a)$ , и  $\tau_n = 2\pi(\tau_{L_n} \cdot \tau_{C_n})^{1/2}$ .

После подстановки решения Римана и соответствующих упрощений эти уравнения приобретают вид дифференциально-разностных уравнений:

$$dU_n / d\tau = F_{U_n}(U_n, P_n), \quad dP_n / d\tau = F_{P_n}(U_n, P_n), \quad (5)$$

где  $F_{U_n}$ ,  $F_{P_n}$  – алгебраические функции неизвестных  $U_n$  и  $P_n$ , взятые с различными задержками по времени  $\delta_n$  и с отсутствием задержек по отношению к текущему моменту времени  $\tau = ct/a$ . Функции  $U_n$ ,  $P_n$  – профили волны напряжения, определяемые в точке локализации цепи  $x = x_n^-$  (слева от  $n$ -го активного блока) и распространяющиеся влево и вправо вдоль  $n$ -й секции микрополосковой линии. Функции  $F_{U_n}$ ,  $F_{P_n}$  определяются следующим образом:

$$F_{U_n}(\vartheta_n) = F_{U_{n+1}}(\vartheta_{n+1} - d_{n+1}) - 0,5[F_{L_n}(\vartheta_n) + F_{C_n}(\vartheta_n)], \quad (6)$$

$$F_{P_n}(\vartheta_n) = F_{P_{n-1}}(\vartheta_{n-1} - d_n) + 0,5[F_{L_n}(\vartheta_n) - F_{C_n}(\vartheta_n)], \quad (7)$$

$$F_{L_n}(\vartheta_n) = \omega_{L_n} \{U_n(\vartheta_n) - P_{n-1}(\vartheta_{n-1} - d_n) + R_n[U_n(\vartheta_n) + P_{n-1}(\vartheta_{n-1} - d_n) - U_{n+1}(\vartheta_{n+1} - d_{n+1}) - P_n(\vartheta_n)]\}, \quad (8)$$

$$F_{C_n}(\vartheta_n) = \omega_{C_n} \{U_{n+1}(\vartheta_{n+1} - d_{n+1}) + P_n(\vartheta_n) + G_n(E_{G_n})\} + dE_{B_n}(\tau) / d\tau, \quad (9)$$

где  $n = 1, 2, \dots, N$ ,  $\vartheta_n = x_n + \tau$ ,  $P_0 = 0, 5R_1 G_1(E_{G_0})$ ,

$$F_{P_0} = 0, \quad F_{U_{N+1}}(\vartheta_{N+1} - d_{N+1}) = F_{P_N}(\vartheta_N - 2d_{N+1}),$$

$\omega_{C_n} = 1/\tau_{C_n}$  и  $\omega_{L_n} = 1/\tau_{L_n}$  – характерные частоты, связанные с емкостью  $C_n$  и индуктивностью  $L_n$  цепи;  $R_n$  – сопротивление, нормализованное на импеданс линии  $Z_0$  (как и все импедансы);  $G_n(E_{G_n})$  – ток в диоде,

$E_{G_n}(\tau) = E_{B_n}(\tau) - U_{n+1}(\vartheta_{n+1} - d_{n+1}) + P_n(\vartheta_n) + U_n(\vartheta_n) - P_{n-1}(\vartheta_{n-1} - d_n)$  – напряжение на диоде ( $E_{G_0} = E_{G_n}(0)$  – начальное напряжение) и  $E_{B_n}$  – напряжение смещения. Самовозбуждение является результатом малой начальной флуктуации  $E_{B_n}(\tau)$ , которая впоследствии уменьшается до нуля.

В случае малых колебаний условия их возникновения и частотный спектр могут быть найдены приближенно с помощью концепции нулевого комплексного импеданса системы в режиме генерации [12,13]. В работе [6] мы обобщили этот подход, применив его для открытой системы, излучающей энергию на бесконечность, что позволило для системы с одним диодом получить хорошую корреляцию аналитических результатов с численным моделированием.

### 3. Численные результаты

Для численного моделирования выбирались такие же параметры устройств, как в работах [9, 15], и использовался метод [16] Дормана-Принса для решения уравнений (5) - (9).

Рассмотрим линию, состоящую из  $N$  активных блоков (рис. 1,б). В отличие от системы с одним диодом с увеличением  $N$  наблюдается уширение спектральных линий и увеличение их числа даже в случае регулярной цепи идентичных блоков. Если есть достаточное сопротивление в каждом блоке (например,  $R = 5$ ), линии спектра остаются узкими (см. рис. 4,а [6]).

Последовательное соединение активных элементов (сосредоточенных цепей с диодами Ганна) протяженными секциями микрополосковой линии, создающими значительные задержки обратной связи, может привести к динамическому хаосу в системе даже в случае не мгновенного отклика активных элементов, обусловленного их реактивными компонентами.

Сравним колебания, возникающие при малых и больших значениях нагрузочных сопротивлений в активных блоках. Рис. 3, а, б показывают профиль волны, излучаемой из системы с  $N = 4$  активными блоками в бесконечную открытую линию, когда нагрузочное сопротивление есть  $R = 0,1$  (см. рис. 3,а) и  $R = 0,5$  (см. рис. 3,б) ( $R = r_n / Z_0$  одинаково для всех  $n$ ).

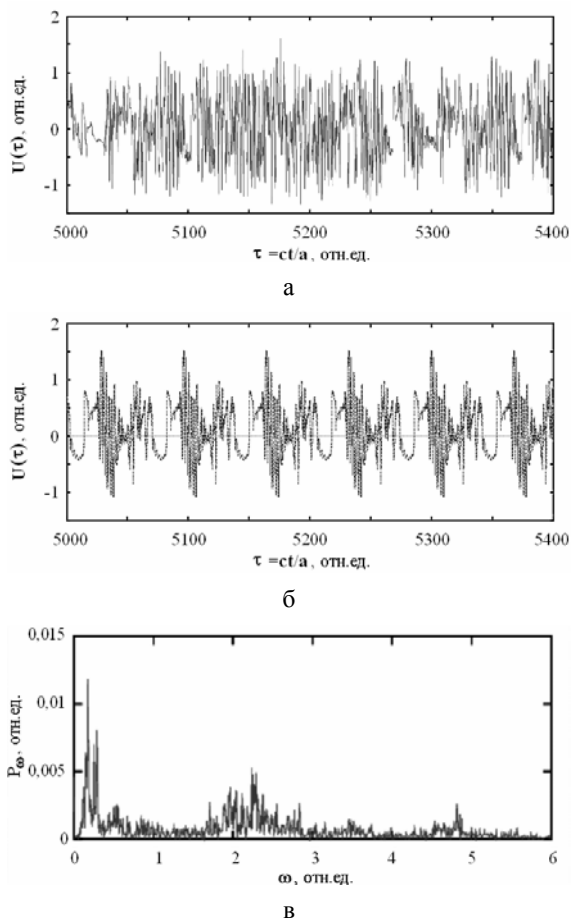


Рис. 3. Профиль излученной волны для цепи, состоящей из  $N = 4$  блоков, когда  $G_0 = 13$ ,  $d_1 = 6,91$ ,  $d_2 = 3,77$ ,  $d_3 = 8,17$ ,  $d_4 = 3,14$ , а – если  $R = 0,1$  и б – если  $R = 0,5$ ; в – частотный спектр излучения в обоих случаях

При этом длины микрополосковых секций выбраны произвольным нерегулярным образом и составляют  $d_1 = 6,91$ ,  $d_2 = 3,77$ ,  $d_3 = 8,17$ ,  $d_4 = 3,14$ , а коэффициент связи диода с линией (параметр нелинейности)  $G_0 = 13$ .

Рис. 3,в показывает частотный спектр излучаемого поля, который в обоих случаях  $R = 0,1$  и  $R = 0,5$  выглядит очень похоже, несмотря на внешнее отличие временных зависимостей поля, приведенных на рис. 3, а, б.

Нерегулярность цепи активных блоков приводит к тому, что расширение спектральных линий при малых  $R$  становится более сложным, а спектр – квазинепрерывным (рис. 3,в). Профиль волны излучения выглядит весьма хаотическим в течение всего длительного времени вычисления, если  $R$  мало (вплоть

до времени  $\tau = 8000$ , до которого велись вычисления при  $R = 0,1$ , рис.3,а), но переключается в регулярный режим после длительного периода времени  $\tau_S$ , если  $R$  не очень мало ( $\tau_S = 1400$ ,  $R = 0,5$ , рис. 3,б). Оба спектра, однако, имеют заметную квазинепрерывную компоненту.

Более чувствительными методами идентификации хаоса по сравнению с анализом спектра мощности колебаний являются сечения Пуанкаре и автокорреляционные функции  $\gamma(\tau)$  сигнала. Автокорреляционные функции, построенные для двух случаев колебаний поля, представленных на рис.3,а,б, приведены на рис.4. Как видим, более нерегулярному колебанию как функции времени (см.рис.3,а) соответствует достаточно быстрый спад автокорреляции от 1 до уровня 0,1 за относительные времена  $ct/a \sim 10$  (кривая 1, рис.4) и остаются ниже этого уровня все последующее время. Такое поведение автокорреляционной функции является характерным признаком достаточно хаотичных сигналов. В случае же временной зависимости, приведенной на рис. 3,б, автокорреляционная функция обнаруживает очень четкую периодическую структуру (кривая 2, рис.4) с достаточно точным воспроизведением временной формы сигнала с периодом  $T \sim 68$  в относительных единицах (отметим, что полная длина цепочки  $L \sim 22$ ).

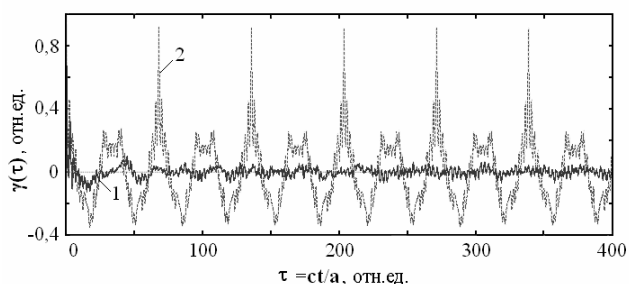


Рис. 4. Автокорреляционная функция для случая нерегулярной цепочки, состоящей из  $N = 4$  блоков:  $R = 0,1$  (кривая 1) и  $R = 0,5$  (кривая 2)

Переход от регулярной динамики к хаотической особенно хорошо виден на сечениях Пуанкаре (рис.5-8). Рис. 5 показывает удвоение периода колебаний с увеличением параметра нелинейности диода  $G$  в системе с одним диодом и балансным отрезком  $d = 3,14$ . Этот отрезок способствует возникновению колебаний и переходу в сильно нелинейный режим, но хаос, тем не менее, еще не наблюдается.

Рис. 6 показывает отсутствие хаоса в структуре с одним диодом без балансного отрезка и без нагрузочного сопротивления ( $R = 0$ ) даже при значении  $G = 16$ , и наличие явно выраженного хаоса в структуре с  $N = 4$  диодами и  $G = 13$ ,  $R = 0$ , тогда как при  $R = 5$  в этой же структуре ( $N = 4$ ) имеются лишь многочастотные колебания. На рис. 7 видно, как степень хаотичности динамики несколько уменьшается с ростом  $R$  от  $R = 0$  до  $R = 0,3$  и далее до  $R = 0,5$  в нерегулярной цепочке с  $N = 4$  диодами при относи-

тельно небольших временах развития процесса от  $T = 300$  до  $T = 1300$ .

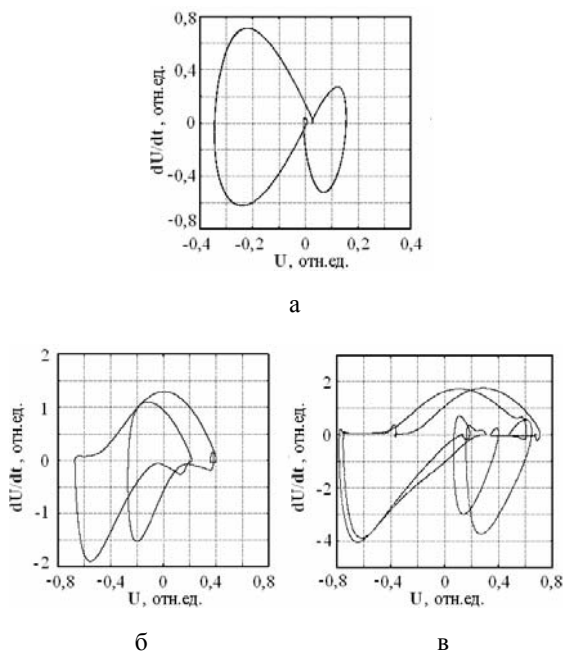


Рис. 5. Сечения Пуанкаре для волн, излученных цепочкой, состоящей из  $N = 1$  блоков ( $d = 3, 14$ ): а –  $G = 2$ ; б –  $G = 10$ ; в –  $G = 11, 2$

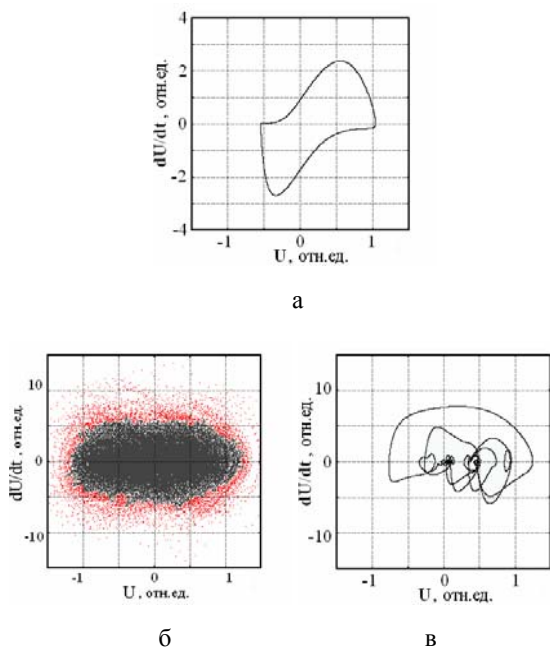


Рис. 6. Сечения Пуанкаре для волн, излученных цепочкой, состоящей из: а –  $N = 1$  блоков,  $d = 0$ ;  $G = 16$ ,  $R = 0$ ; б –  $N = 4$ ,  $G = 13$ ,  $R = 0$ ,  $d = 5$ ; в –  $N = 4$ ,  $G = 13$ ,  $R = 5$ ,  $d = 5$

При достаточно длительном протекании процесса в структуре с  $R = 0,5$  динамика несколько упрощается, оставаясь все же весьма сложной, многочастотной, тогда как при достаточно малых значениях  $R = 0,1$  динамика остается хаотической даже при  $T = 2000 - 3000$ , как видно из рис. 8.

В целом, при анализе подобных систем наблюдается тенденция, что хаотические режимы проявляются тогда, когда активное сопротивление нагрузки диодов мало по сравнению с собственным импедансом линии ( $R \ll 1$ ).

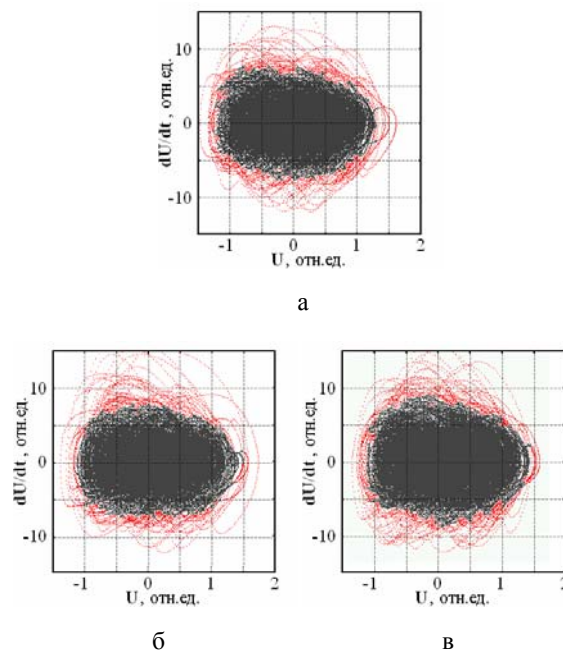


Рис. 7. Сечения Пуанкаре для волн, излученных цепочкой, состоящей из  $N = 4$  блоков: а –  $R = 0$ ,  $T = 2000 - 3000$ ; б –  $R = 0, 3$ ,  $T = 300 - 1300$ ; в –  $R = 0, 5$ ,  $T = 300 - 1300$

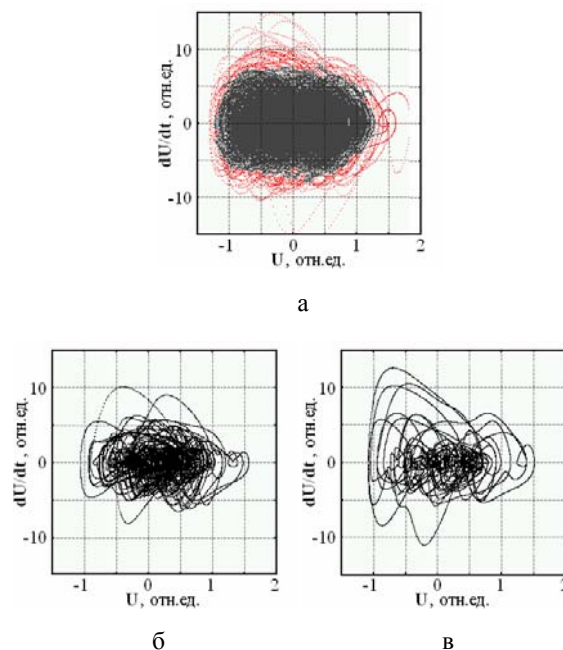


Рис. 8. Сечения Пуанкаре для волн, излученных цепочкой, состоящей из  $N = 4$  блоков,  $T = 2000 - 3000$ : а –  $R = 0, 1$ ; б –  $R = 0, 3$ ; в –  $R = 0, 5$

#### 4. Заключение

Построена эффективная математическая модель для расчета во временной области сложных широкополосных автоколебаний в цепочках диодов Ганна в

микрополосковой линии передачи с учетом задержки обратной связи. В последовательных цепочках с диодами Ганна выявлена возможность сложной многочастотной генерации колебаний. Для системы с одним диодом и балансным отрезком увеличение параметра нелинейности диода  $G$  способствует переходу колебаний в сильно нелинейный режим, в то время как в этой же структуре без балансного отрезка и без нагрузочного сопротивления наблюдаются регулярные колебания даже при большом значении  $G$ .

Переход от регулярной динамики к хаотической особенно хорошо виден в структурах с несколькими диодами. При этом увеличение или уменьшение значений параметра нелинейности не играет столь существенной роли, как изменение значений нагрузочного сопротивления. С ростом нагрузочного сопротивления степень хаотичности динамики уменьшается. Напротив, в цепочках с малым нагрузочным сопротивлением в открытый бесконечный участок линии может излучаться хаотическое колебание, иногда сопровождаемое многочастотной генерацией.

Предложенные методы моделирования и анализа активных микрополосковых систем, а также эффекты многочастотной и хаотической генерации, описанные в работе, представляют интерес для создания новых приборов, таких как генераторы сложных сигналов для шумовой радиолокации и т.п. на основе компактных твердотельных устройств.

**Литература:** 1. *Кислов В.Я., Залогин Н.Н., Мясин Е.А.* Исследование стохастических автоколебательных процессов в автогенераторах с запаздыванием // Радиотехника и электроника. 1979. Т.24, №6. С.1118-1130. 2. *Кузнецов С.П.* Сложная динамика генераторов с запаздывающей обратной связью (обзор) // Изв. вузов. Радиофизика. 1982. Т.25, №12. С.1410-1428. 3. *Lukin K.A.* Millimeter Wave Noise Radar Technology // MSMW'98 Symposium, Kharkov, Ukraine: 15-17 Sept.1998: Proc. Vol.1. P.94-97. 4. *Lukin K.A.* Noise Radar Technology: the principles and short overview // Applied Radio Electronics. 2005. Vol.4, No.1. P.74-79. 5. *Shiau Yuo-Hsien, Peng Yih-Ferng, Cheng Yi-Che and Hu Chin-Kun.* Multistability and Chaos in a Semiconductor Microwave Device with Time-Delay Feedback // Journal of the Physical Society of Japan. April 2003. Vol.72, No.4, P.801-804. 6. *Юрченко Л. В., Юрченко В. Б.* Генерация многочастотных колебаний в микрополосковых линиях передачи с диодами Ганна // Радиоэлектроника и информатика. 2007. №2. С.24-29. 7. *Lin J. T. and Cao J. C.* Terahertz generation and chaotic dynamics in GaN NDR diode // Semicond. Sci. Technol. March 2004. Vol.19, No.3. P.451-456. 8. *Lukin K. A. et al.* Method of difference equation in the resonator problem with a nonlinear reflector // Soviet Physics

– Doklady. 1989. Vol.34. P.977-979. 9. *Yurchenko L. V. and Yurchenko V. B.* Chaos in a Cavity with Active Microwave Devices // Appl. Radio Electronics. 2005. Vol.4, No. 1. P.80-84. 10. *Юрченко Л. В. и Юрченко В. Б.* Генерация ультракоротких импульсов в резонаторе с активным слоем и диэлектрическим зеркалом // Прикладная радиоэлектроника. 2005. Т.4, № 2. С.195-200. 11. *Kurokawa K.* The Single-Cavity Multiple-Device Oscillator // IEEE Trans. Microwave Theory Techn. 1971. Vol. MTT-19. P.793-801. 12. *Russell K. J.* Microwave Power Combining Technique // IEEE Trans. Microwave Theory Techn. 1979. Vol. MTT-27. P.472-478. 13. *Erturk V. B., Rojas R. G. and Roblin P.* Hybrid Analysis/ Design Method for Active Integrated Antennas // IEE Proc. Microw. Antennas Propag. 1999. Vol.146. P.131-137. 14. *Shur M.* GaAs Devices and Circuits // Plenum Press. –London. 1987. 15. *Alekseev E. and Pavlidis D.* GaN Gunn diodes for THz signal generation // IEEE MTT-S Int. Microwave Symposium Digest. 11-16 June 2000. Vol.3. P.1905-1908. 16. *Hairer E. and Wanner G.* Solving Ordinary Differential Equations II: Stiff and Differential-Algebraic Problems // Springer-Verlag, Berlin. 1991.

Поступила в редколлегию 11.08.2009

**Рецензент:** д-р физ.-мат. наук, проф. Лукин К.А.

**Юрченко Лидия Валерьевна**, канд. физ.-мат. наук, старший научный сотрудник отдела нелинейной динамики электронных систем ИРЭ им. А. Я. Усикова НАН Украины, Харьков. Научные интересы: моделирование динамического хаоса в электронных системах, автогенерации широкополосных шумовых сигналов и ультракоротких импульсов. Адрес: Украина, 61085, Харьков, ул. Ак. Проскуры, 12, тел.: +38-057-7203-349,



email: yurchenk@ire.kharkov.ua

**Юрченко Владимир Борисович**, д-р физ.-мат. наук, старший научный сотрудник отдела радиофизики твердого тела ИРЭ им. А.Я. Усикова НАН Украины, Харьков. Научные интересы: ранее - теория переноса горячих электронов в полупроводниковых приборах, фото- и термо-электрические эффекты, явления неустойчивости и хаос; в последнее время - нелинейная динамика электронных систем, распространение волн и моделирование антенн. Адрес: Украина, 61085, Харьков, ул. Ак. Проскуры, 12. Тел.:+38-057-7203-569, email: yurchenk@ire.kharkov.ua

